

УДК 536.320

© 1992

**ВЛИЯНИЕ ПРОТЯЖЕННЫХ ДЕФЕКТОВ
НА ТЕМПЕРАТУРНЫЕ АНОМАЛИИ
СВОЙСТВ КРИСТАЛЛОВ С ФАЗОВЫМИ ПЕРЕХОДАМИ**

Н. В. Щедрина, М. И. Щедрин

Рассматриваются флюктуационные поправки к затуханию χ и скорости ультразвука v в слоистых кристаллах, где имеет место тенденция к образованию плоских и линейных протяженных дефектов. Расчет производится для двух типов дефектов, имеющих разные граничные условия и вызывающих длинноволновые неоднородности типа «замороженной» флюктуации. Для χ могут иметь место следующие аномалии: $\tau^{-3} \ln^{-2} \tau$, $\tau^{-5/2} \ln^{-2} \tau$, τ^{-2} , $\tau^{-3/2}$ в случае 2D и $\tau^{-5/2}$, $\tau^{-3/2}$ в случае 1D. Для v соответственно $\tau^{-2} \ln^{-2} \tau$, $\tau^{-3/2} \ln^{-2} \tau$, τ^{-1} , $\tau^{-1/2}$ и $\tau^{-3/2}$, $\tau^{-1/2}$ ($1 + \text{const } \ln \tau$), ($\tau = T/T_c - 1$). В зависимости от соотношений между радиусом корреляции флюктуаций, характерным размером протяженных дефектов и масштабом его внутренней неоднородности («шероховатости») реализуются разные температурные аномалии. В отличие от чисто флюктуационных поправок примесные имеют аномалию не только в области низких частот, но и высоких, хотя и менее сильную. Обсуждаются критерии применимости линейного приближения при расчете корреляционных функций дефектов низших размерностей. Отмечается, что аномалии такого же характера должны проявляться в теплопроводности и в спектрах комбинационного рассеяния света на флюктуациях параметра порядка.

В сильно анизотропных слоистых веществах наблюдается тенденция к образованию протяженных плоских и линейных дефектов. Одним из наиболее интересных и актуальных в настоящее время является вопрос о влиянии таких дефектов на физические свойства высокотемпературных сверхпроводников. Экспериментально протяженные дефекты наблюдались уже во многих работах [1, 2] (см. также ссылки к [3]). В [3] теоретически исследуется проводимость металла с плоскими дефектами. Обычно разупорядочение происходит за счет неправильного чередования слоев (у Y—Ba—Cu—O, например, содержащих Y и Ba) или цепочек CO.

Здесь мы будем рассматривать окрестность температур вблизи T_c — температуры структурного фазового перехода (ФП). Вопрос о происхождении и характере температурных аномалий вблизи точки структурного ФП в ВТСП и о возможной связи его с существованием сверхпроводящего перехода является сейчас, по-видимому, одним из ключевых в понимании механизма ВТСП [4, 5]. При этом остается неясным, какой конкретно тип ФП здесь имеет место: является ли он просто структурным или сопровождается сегнетоэлектрическими, ферроэластическими или же какими-либо другими свойствами? Тем не менее имеется достаточно большое число экспериментальных фактов, указывающих на то, что переход идет через механизм мягкой моды [6–9], причем эта мягкая мода имеет передемптированный характер [6].

В [10, 11] отмечалось, что температурные аномалии вблизи T_c структурного ФП в ВТСП, как показывает эксперимент, оказываются настолько резкими, что не описываются известными формулами для флюктуационных поправок в классическом высокотемпературном приближении. Так, экспериментально

аномалия скорости звука $\Delta v \sim \tau^{-n}$, где $\tau = (T - T_c)/T_c$, а $1 < n < 2$ (ближе к 1.5), тогда как теоретическое значение n как для чисто колебательной, так и для передемпфированной моды равно 1/2. Для затухания звука экспериментально $\alpha \sim \tau^{-m}$, где $2 < m < 3$ (ближе к 2.6), а теоретическое значение m равно 1/2 для колебательной моды и 3/2 для передемпфированной. В работе [11] показано, что в чистом кристалле, без дефектов, близкие к экспериментальным значениям n и m могут быть получены для флюктуационных поправок только в низкотемпературной асимптотике и только для передемпфированной мягкой моды. Если же оказывается, чтонерегулярность и определенная дефектность являются неотъемлемыми свойствами даже монокристаллических ВТСП, то представляет интерес исследование различных моделей примесных состояний и возникающих при этом температурно-аномальных вкладов и их свойств. Одним из фактов, подтверждающих важность определенного характера дефектной структуры, является хорошо известное влияние нестехиометричности по кислороду (а также и по некоторым другим элементам) на положение T_c и близость ее к температуре сверхпроводящего перехода. Это видно, например, из фазовой диаграммы для $\text{La}_{2-x}\text{Sr}_x\text{CuO}_4$, приведенной в [5]. Известно [12, 13], что некоторые типы дефектов могут приводить к сильным температурным аномалиям, большим, чем чисто флюктуационные. Однако это справедливо далеко не для всех дефектов. Наличие сильно анизотропной матрицы с ФП дает основание предполагать, что даже точечные дефекты могут быть в определенной степени анизотропны, что отражается на температурном поведении поправок. Здесь мы, как и в [11], ограничимся рассмотрением акустических свойств и получим выражения для примесных поправок от ряда типичных дефектов различной размерности с тем, чтобы можно было судить о том, какие из них в принципе могли быть ответственными за наблюдаемые температурные аномалии. Указывается также, какие другие физические величины должны иметь такие же аномалии, как и акустические.

1. Дефекты рассматриваются в рамках представлений о нарушении симметрии исходного кристалла-матрицы с ФП и возникновении «замороженной» флюктуации параметра перехода η [12–14]. Многие свойства таких дефектов изложены в [12, 13]. Для расчетов, следя [15–17], используется стандартная методика гриновских функций [18]. Для звуковой волны частоты ω и с волновым вектором \mathbf{q} примесная поправка к комплексному модулю упругости имеет вид

$$\Delta\lambda(\omega, \mathbf{q}) = -g^2\Sigma(\omega, \mathbf{q}),$$

где

$$\Sigma(\omega, \mathbf{q}) = \int e^{-i\mathbf{qr}}\Theta(\mathbf{r})G(\omega, \mathbf{r})d\mathbf{r} = \int \frac{dk}{(2\pi)^3}\Theta(\mathbf{k})G(\omega, \mathbf{q} - \mathbf{k}). \quad (1)$$

Здесь g — константа взаимодействия рассматриваемой акустической моды с параметром ФП, G — гриновская функция η , Θ — примесная парная корреляционная функция (КФ). Характер пространственного распределения замороженной флюктуации определяется многообразием решений уравнения стационарности для η_0 с различными граничными условиями на ядре дефекта. Требуемую КФ получаем, добавляя в гамильтониан для η слагаемые (со случайной силой f) в виде ηf , $\eta \partial f / \partial x_i$ и т. д., что соответствует дефектам S, P, \dots типа. Величина f имеет вид определенной суммы δ -функций, центрированных в точках нахождения дефектов \mathbf{r}_i [17]

$$f(\mathbf{r}) = f_0 v_0 \sum_{i=1}^N a_i \delta(\mathbf{r} - \mathbf{r}_i),$$

где v_0 — объем дефекта; f_0 — размерная константа (сила дефекта); a_i — безразмерная величина, учитывающая состояние дефекта. Неоднородное распре-

деление $\gamma_{10}(\mathbf{r})$, обусловленное всеми N дефектами в кристалле, записывается как $\gamma_{10}(\mathbf{r}) = \int G(\mathbf{r}, \mathbf{r}') f(\mathbf{r}') d\mathbf{r}'$ (для S -дефекта). Здесь $G(\mathbf{r}, \mathbf{r}')$ — гриновская функция при $\omega_n = 0$. После усреднения по расположению дефектов получаем выражение для парной КФ $\Theta(\mathbf{r}) = \overline{\gamma_{10}(\mathbf{r}) \gamma_{10}}$, а ее Фурье-компоненты $\Theta(\mathbf{k}) = -n |\gamma_{10}(\mathbf{k})|^2$, n — концентрация дефектов. Для P -дефектов в $\gamma_{10}(\mathbf{k})$ возникает лишний множитель k_i^2 из-за производной и соответственно k_i^2 в $\Theta(\mathbf{k})$.

Отметим, что в нижнем порядке по g вклад (1) является единственным и определяется только парной КФ Θ . Высшие КФ для γ_{10} появляются при учете поправок на взаимодействие флюктуаций (нелинейный член $(1/4!)$) $\beta \gamma^4$ в эффективном гамильтониане [19]. Запишем выражение для КФ различных типов дефектов в линейном приближении. В этом случае гриновская функция имеет вид [11]

$$G_0(\omega_n, \mathbf{k}) = -[\mu \omega_n^2 + \gamma |\omega_n| + \alpha(T, \mathbf{k})]^{-1}, \quad (2)$$

где μ и γ — соответственно эффективная масса и затравочный, неособенный коэффициент затухания; $\alpha(T, \mathbf{k}) = \alpha(T) + \delta_i k_i^2$ определяет температурно-зависимый спектр критических флюктуаций. При не слишком низких T $\alpha(T) = \alpha'(T - T_c) = \alpha_c \tau$. Величины δ_i учитывают анизотропию по \mathbf{k} . С учетом сказанного получаем для трехмерных точечных дефектов ($3D$)

$$\Theta_S(\mathbf{k}) = n_3 (f_0 v_0)^2 (\alpha + \delta_i k_i^2)^{-2}, \quad (3)$$

$$\Theta_P(\mathbf{k}) = n_3 (f_0 v_0 d)^2 (k_z / \alpha + \delta_i k_i^2)^{-2}. \quad (4)$$

Здесь индекс «3» у n указывает, что это концентрация с размерностью см^{-3} ; d имеет смысл среднего размера ядра дефекта. Отметим, что в основополагающих работах [12, 13] по данной модели дефекта предполагалась сферическая форма ядра дефекта с размером d и система с ФП считалась изотропной. При этом указывалось, что характер аномалий определяется видом распределения замороженной флюктуации вокруг дефекта, а не ядром дефекта [20]. Поэтому для анизотропной матрицы с ФП в первую очередь основную роль играет учет возникающей из-за свойств этой матрицы анизотропии зародышей новой фазы, а не пространственной конфигурации ядра дефекта (сфера, эллипсоид и др.), имеющего в макроскопической теории размеры порядка постоянной элементарной ячейки.

Таким образом, в нашем случае трехмерный точечный дефект характеризуется, как и раньше [12, 13], двумя параметрами f_0 и v_0 , которые в изотропном случае связаны с d соотношением $f_0 v_0 = 4\pi d \gamma_c \delta$; γ_c есть параметр дефекта (характеризующий его «силу» или «интенсивность») и имеет смысл значения параметра γ на дефекте. Учитывая, что $v_0 \sim d^3$, имеем $f_0 \sim \gamma_c \delta / d^2$. Для анизотропной матрицы уравнение для γ_{10} содержит теперь $\delta_i \partial^2 \gamma_{10} / \partial x_i^2$, поэтому решение для одного изолированного точечного дефекта имеет вид

$$\gamma_{10}(\mathbf{r}) = f_0 v_0 G(\mathbf{r}) = (4\pi)^{-1} f_0 v_0 (\delta_1 \delta_2 \delta_3)^{-1/2} e^{-\gamma r'} / r',$$

где

$$r' = \sqrt{x^2/\delta_1 + y^2/\delta_2 + z^2/\delta_3}.$$

Связь между f_0 и γ_c теперь по порядку величины имеет вид

$$f_0 v_0 = 3^{-1/2} \gamma_c d \sqrt{\delta_1 \delta_2 \delta_3} \sqrt{\delta_1^{-1} + \delta_2^{-1} + \delta_3^{-1}}.$$

Один изолированный ($2D$) S -дефект имеет следующее распределение:

$$\eta_0^S(\rho) = \eta_c \mathcal{K}_0(\rho/r_{c\parallel}) / \mathcal{K}_0(d/r_{c\parallel}) \approx \eta_c \frac{\mathcal{K}_0(\rho/r_{c\parallel})}{\ln(r_{c\parallel}/d)}, \quad (5)$$

где $\rho = (x, y)$, $r_{c\parallel}$ — радиус корреляции в плоскости (ab) и соответственно

$$\Theta_S(z) = n_2 \frac{(\eta_c \delta_{\perp})^2}{\ln^2(r_{c\parallel}/d)} \left(\frac{2\pi}{\alpha + \delta_{\perp} z^2} \right)^2, \quad (6)$$

$z = (k_x, k_y)$, а n_2 — концентрация линейных дефектов с размерностью см^{-2} . Один из возможных типов P -дефекта

$$\eta_0^P(x, y) = \eta_c \left(\frac{x}{\rho} \right) \frac{\mathcal{K}_1(\rho/r_{c\parallel})}{\mathcal{K}_1(d/r_{c\parallel})} \approx \eta_c \left(\frac{d}{r_{c\parallel}} \right) \left(\frac{x}{\rho} \right) \mathcal{K}_1 \left(\frac{\rho}{r_{c\parallel}} \right), \quad (7)$$

$\mathcal{K}_1(x)$ — функция Бесселя мнимого аргумента. Парная $2D$ КФ P -дефекта

$$\Theta_P(z) = n_2 (\eta_c d \delta_{\perp})^2 \left(\frac{2\pi k_x}{\alpha + \delta_{\perp} z^2} \right)^2. \quad (8)$$

В общем случае для плоских $1D$ дефектов

$$\Theta(k_z) = \frac{n_1}{r_{c\perp}^2 + k_z^2} \left[(\eta_{c1} + \eta_{c2})^2 - 4\eta_{c1}\eta_{c2} \frac{k_z^2}{r_{c\perp}^2 + k_z^2} \right]. \quad (9)$$

Здесь η_{c1} и η_{c2} — граничные значения на ядре по обе стороны дефекта. Отсюда для $1D S$ -дефекта $\eta_{c1} = \eta_{c2} = \eta_c$, а для P -дефекта $\eta_{c1} = -\eta_{c2} = \eta_c$

$$\Theta_S(k_z) = n_1 \eta_c^2 (4\alpha \delta_{\perp}) (\alpha + \delta_{\perp} k_z^2)^{-2}, \quad (10)$$

$$\Theta_P(k_z) = n_1 \eta_c^2 (4\delta_{\perp}^2 k_z^2) (\alpha + \delta_{\perp} k_z^2)^{-2}, \quad (11)$$

n_1 — концентрация в см^{-1} .

При оценке возможных температурных аномалий, согласно (1), с учетом КФ (5)–(11) подчеркнем следующие обстоятельства. Проявление специфических свойств протяженных дефектов различных размерностей зависит от соотношения между параметром, характеризующим протяженность дефекта L (длина для линейного и средний или характерный размер для плоского), величиной R_0 , связанной с внутренними свойствами протяженного дефекта и имеющей смысл масштаба неоднородностей вдоль оси линейного $2D$ дефекта или в плоскости для $1D$ дефекта и радиусом корреляции флюктуаций r_c . При этом, естественно, для анизотропных систем (как для структуры ВТСП) вводится несколько длин корреляции вдоль кристаллографических осей $r_{c\perp} = \sqrt{\delta_{\perp}/\alpha}$. Для нормальной фазы ВТСП, как и для сверхпроводящих флюктуаций, при структурных ФП достаточно использовать продольный и поперечный радиусы корреляции: $r_{c\parallel}$ и $r_{c\perp}$ ($r_{c\parallel} > r_{c\perp}$). Отметим, что обе длины корреляции в нашей задаче имеют двойкий смысл: это и длины корреляции термических флюктуаций параметра перехода η и в то же время это характерные размеры неоднородности η_0 — «замороженной» флюктуации.

Если $L \gg R_0 \gg r_{c\parallel}, r_{c\perp}$ (область I), т. е. не слишком близко к T_c , должно обнаруживаться поведение дефекта низшей размерности. Действительно, это неравенство означает, что внутренняя неоднородность дефекта (его «шероховатость») проявляется слабо и в предельном случае вдоль оси $2D$ дефекта (или в плоскости $1D$ дефекта) фактически устанавливается дальний порядок $\sim L$ через граничное условие на ядре дефекта. Тогда, например, для $2D$ это означает, что корреляционная функция $\Theta \sim \delta(k_z)$, интегрирование по k_z в (1), таким образом, убирается, G становится двумерной («спуск» размерности) и результирующий вклад оказывается чисто двумерным.

В теории, рассматривающей точечные дефекты в кристалле [12, 13], введенный выше параметр η_c есть просто число. Для протяженного дефекта естественным обобщением является задание функции $\eta_c(r_s)$ — значения граничных условий, взятых на поверхности дефекта. Тогда шероховатость дефекта описы-

вается внутренней КФ $\overline{\tau_{i_c}(\mathbf{r}_{1s})\tau_{i_c}(\mathbf{r}_{2s})}$, где черта означает усреднение по статистическим свойствам неоднородности в граничном условии. Мы рассматриваем здесь только предельные виды этой корреляции: однородный — область I, мелкомасштабная неоднородность — область II, когда Фурье-компоненты этой КФ не зависят от волнового числа при $k \rightarrow 0$. Тогда в (1) сохраняется интегрирование по k_z (для $2D$), G — трехмерна и вид температурной особенности изменяется по сравнению с областью I. Рассмотренный случай может реализоваться при выполнении следующих условий: $R_0 \ll r_{c\perp} \ll L$ для $2D$ и $R_0 \ll r_{c\parallel} \ll L$ для $1D$.

Когда все длины корреляций являются самыми большими параметрами, т. е. выполняется неравенство $R_0 \ll L \ll r_{c\parallel}, r_{c\perp}$ (область III), проявляется $3D$ поведение.

2. Температурные аномалии появляются в (1) при интегрировании по волновому вектору. Приведем соответствующие выражения для таких интегралов в различных ситуациях. Для точечного $3D S$ -дефекта

$$I_0 = \int \frac{d\mathbf{k}}{(2\pi)^3} \left(\frac{1}{\alpha + \delta_i k_i^2} \right)^2 \frac{1}{\alpha - \mu\omega^2 + i\gamma\omega + \delta_i (q - k)_i} = \frac{1}{8\pi\sqrt{\delta_1\delta_2\delta_3}} \frac{1}{\sqrt{\alpha}} \frac{1}{(\sqrt{\alpha} + \sqrt{a})^2}, \quad (12)$$

$$a = \alpha - \mu\omega^2 + i\gamma\omega + \delta_i q_i^2.$$

Рассмотрим частные случаи. Кроме частоты звука ω , в задаче есть характерные частоты: $\omega_c = \sqrt{\alpha/\mu}$ — собственная частота мягкой моды, $\omega_r = \alpha/\gamma$ — релаксационная частота, а также затухание $\Gamma = \gamma/\mu$. В зависимости от соотношения между этими параметрами получаются предельные случаи с разной аномалией по T . Важным параметром является также отношение длины волны звука λ_3 и соответствующего r_c , отделяющее область высоких частот $\lambda_3/r_c \leq 1$ ($\delta_i q_i^2 \gg \alpha$ или $\omega \geq v\delta_i^{-1/2}\alpha^{1/2}$, v — скорость звука) от низких $\lambda_3/r_c \gg 1$ ($\delta_i q_i^2 \ll \alpha$, $\omega \ll v\delta_i^{-1/2}\alpha^{1/2}$). Поскольку такие параметры, как γ , μ , v , не связаны между собой, в принципе допустимо большое разнообразие соотношений между ω и другими характерными частотами. Из (12) видно, что особенностью примесных вкладов в отличие от чисто флюктуационных является появление температурной аномалии (хотя и не очень большой $\alpha^{-1/2}$) в области больших частот, что характерно для существования в системе замороженных флюктуаций (во всяком случае S -типа). Тем не менее наиболее сильные особенности имеют место для малых частот ($\delta_i q_i^2 \ll \alpha$)

$$I_0^S(0, 0) = \frac{1}{32\pi} (\delta_1\delta_2\delta_3)^{-1/2} \alpha^{-3/2}. \quad (13)$$

Такая аномалия у скорости звука. Для затухания звука наибольшая аномалия при передемптированной моде ($\Gamma \gg \omega_c$)

$$\text{Im } I_0^S(\omega, 0) \approx -\frac{1}{64\pi} (\delta_1\delta_2\delta_3)^{-1/2} \gamma\omega\alpha^{-5/2}. \quad (14)$$

Этот результат получен в изотропном случае в [12, 21]. В чисто колебательном режиме ($\Gamma \ll \omega_c$) затухание отлично от нуля только для $\omega > \omega_c$, т. е. имеет место порог.

Для P -дефектов имеем общий результат

$$I_0^P(\omega, \mathbf{q}) = \frac{1}{24\pi} \delta_1^{-1/2} \delta_2^{-1/2} \delta_3^{-3/2} \frac{2\sqrt{a} + \sqrt{\alpha}}{(\sqrt{a} + \sqrt{\alpha})^2} \quad (15)$$

и соответственно аномальные части с меньшими, чем в (13), (14), особенностями

$$I_0^P(0, 0) = \frac{1}{32\pi} \delta_1^{-1/2} \delta_2^{-1/2} \delta_3^{-3/2} \alpha^{-1/2},$$

$$\text{Im } I_0^P(\omega, 0) = -\frac{1}{96\pi} \delta_1^{-1/2} \delta_2^{-1/2} \delta_3^{-3/2} \gamma \omega \alpha^{-3/2}. \quad (16)$$

Для 2D S-дефектов с учетом (6) получаем из (1) вклад, имеющий чисто двумерный характер

$$I_1^S(\omega, 0) = \frac{1}{4\pi} (\delta_1 \delta_2)^{-1/2} \frac{1}{\alpha \ln^2 \alpha} \frac{(\alpha - \mu \omega^2) - i\gamma \omega}{(\alpha - \mu \omega^2)^2 + \gamma^2 \omega^2}. \quad (17)$$

Аномалии скорости звука и затухания в этом случае

$$I_1^S(0, 0) = \frac{1}{4\pi} (\delta_1 \delta_2)^{-1/2} (\alpha \ln \alpha)^{-2},$$

$$\text{Im } I_1^S(0, 0) \approx -\frac{1}{4\pi} (\delta_1 \delta_2)^{-1/2} \frac{\gamma \omega}{\alpha (\alpha \ln \alpha)^2}. \quad (18)$$

Последняя формула в (18) справедлива для релаксационной динамики. Отметим, что при оценке приведенных выше формул (12)–(18) пренебрежение анизотропией, т. е. использование одного коэффициента δ , изменяет только числовой множитель, не затрагивая характера температурной аномалии. Поэтому, имея в виду лишь определение вида температурной особенности, ниже мы приводим результаты в этом приближении.

В области II (I) допускается дополнительное интегрирование по сравнению с предыдущим случаем, что приводит к уменьшению особенностей

$$I_2^S(\omega, q) = \left(\frac{1}{8\pi}\right) \delta^{-3/2} \alpha^{-1} \ln^{-2} \alpha \alpha^{-1/2}, \quad (19)$$

откуда имеем в области низких частот

$$I_2^S(0, 0) = \left(\frac{1}{8\pi}\right) \delta^{-3/2} \alpha^{-3/2} \ln^{-2} \alpha,$$

$$\text{Im } I_2^S(0, 0) \approx -\left(\frac{1}{16\pi}\right) \delta^{-3/2} \gamma \omega \alpha^{-5/2} \ln^{-2} \alpha. \quad (20)$$

Результаты для 2D P-дефектов: аномалии для области I

$$I_1^P(0, 0) \sim \alpha^{-1}, \quad \text{Im } I_1^P(\omega, 0) \sim \alpha^{-2}, \quad (21)$$

для области II

$$I_2^P(0, 0) \sim \alpha^{-1/2}, \quad \text{Im } I_2^P(\omega, 0) \sim \alpha^{-3/2}. \quad (22)$$

В случае плоских 1D S-дефектов, используя КФ (10), имеем общий результат

$$I_3^S(\omega, q) = \left(\frac{1}{4\pi}\right) \delta^{-1/2} \frac{\alpha + a + \sqrt{\alpha a}}{\sqrt{\alpha} a^{3/2} (\sqrt{\alpha} + \sqrt{a})}, \quad (23)$$

откуда следуют низкочастотные аномалии

$$I_3^S(0, 0) \sim \alpha^{-3/2}, \quad \text{Im } I_3^S(0, 0) \sim \gamma \omega \alpha^{-5/2}. \quad (24)$$

Это вклад области I, где проявляются чисто одномерные свойства дефекта. Область II для 1D S-дефектов дает следующий результат:

$$I_4^S(\omega, 0) = \left(\frac{1}{8\pi}\right) \delta^{-3/2} \left[\alpha^{-1/2} \ln \left(\frac{\sqrt{\delta k_m^2}}{\sqrt{\alpha} + i\gamma \omega + \sqrt{\alpha}} \right) + (\alpha + i\gamma \omega)^{-1/2} \right],$$

откуда в асимптотике малых частот

$$I_4^S(0, 0) \sim \alpha^{-1/2} (1 + \ln \sqrt{\delta k_m^2 / 4\alpha}),$$

$$\text{Im } I_4^S \sim \gamma \omega \alpha^{-3/2}. \quad (26)$$

В асимптотике высоких частот $\gamma\omega \gg \alpha$

$$\operatorname{Re} I_4^S(\omega, 0) \sim \alpha^{-1/2} \ln \sqrt{\delta k_m^2 / \gamma\omega},$$

$$\operatorname{Im} I_4^S \sim \alpha^{-1/2}. \quad (27)$$

Здесь k_m — параметр, определяющий максимальное значение k для квадратичного спектра.

Аналогично для $1D P$ -дефектов в области I имеем

$$I_3^P(\omega, 0) = \frac{1}{4} \delta^{-3/2} \alpha^{-1/2} (\alpha + i\gamma\omega)^{-1/2} (\sqrt{\alpha + i\gamma\omega} + \sqrt{\alpha})^{-1}. \quad (28)$$

Видно, что, хотя этот общий результат и отличается от (23), тем не менее низкочастотные аномалии совпадают с (24). Такое же совпадение имеет место и для области II, т. е. здесь справедлива асимптотика (26), (27).

3. Таким образом, имеется достаточно большое количество вкладов даже всего от двух типов (S и P) дефектов различной размерности, дающих большой спектр температурных аномалий вблизи T_c . Учитывая значения n и m , приведенные выше, и результаты (13)–(28), можно указать, какие дефекты дают температурную особенность, близкую к экспериментальной. Это, во-первых, $3DS$ (13), (14). Для $2D$ множитель $\ln^2 \alpha$ в знаменателе несколько уменьшает особенность, поэтому здесь подходящим кандидатом является $2DS$, причем лучше в области II (20). $2DP$, как и $3DP$, дают более слабую особенность. Интересно, что $1DS$ - и P -дефекты дают одинаковую аномалию. Это связано с наличием множителей α и k_z^2 в (10) и (11), уменьшение Θ при малых k приводит к ослаблению особенности. Физически это обусловлено тем, что мы считаем $\eta_0=0$ (неполяризованные дефекты). Чтобы обеспечить это условие, необходимо, чтобы для S -дефектов η_c на разных дефектах имело, например, переменные знаки (\pm); для P -дефектов разные знаки имеют место уже на одном дефекте, что и приводит в среднем к одинаковому результату.

Из (24) видно, что аномалия $1D$ совпадает с $3DS$, причем, как видно из (23) и (12), совпадение температурных особенностей имеет место не только в области малых, но и больших частот. Остается только разной общая частотная зависимость. При этом из (17) и (18) видно, что $2D$ случай является наиболее сильным в смысле появления температурной аномалии. Следует подчеркнуть (в плане сравнения с экспериментом), что, как уже отмечалось в [11], указанные значения n и m не удается получить для всей температурной области, где проводились экспериментальные измерения. Можно предположить, что это является проявлением свойств размерности дефектов (области I–III) при различной степени близости к T_c .

Для поляризованных дефектов, когда $\eta_0 \neq 0$, имеет место размытие особенностей [12], при этом во всех формулах α нужно заменить на $\tilde{\alpha} = \alpha + (1/2) \eta_c^2$, откуда $\tilde{\alpha}(T=T_c) = (\beta/2)(6f/\beta)^{1/2}$, $\eta_0(T=T_c) = (6f/\beta)^{1/2}$, а $f = 4\pi n(d\delta\eta_c)$.

Рассмотрим теперь вопрос об условиях применимости линейного приближения. Имеем две поправки первого порядка по β : чисто флуктуационную «петлю» $\beta G(\tau=0, r=0)$ и примесную $\sim \beta \eta_0^2$, они обе дают поправки к α . Условие малости первой хорошо известно и определяется числом Гинзбурга Gi [19]. Для нас важно второе условие $\beta \eta_0^2 / \alpha \ll 1$, оно существенно зависит от размерности дефекта. Для $3DS$, интегрируя (3), получаем

$$\overline{\eta_0^2} = 2\pi n_s d^2 r_c \left(\frac{\eta_c}{\eta_a} \right)^2 \left(\frac{T_a}{\delta d} \right), \quad (29)$$

где для удобства сравнений введены параметры $T_a = \delta^2 / \beta d$ и $\eta_a^2 = \delta / \beta d^2$, имеющие смысл величин порядка атомных. Тогда условие малости поправки имеет вид

$$(n_s r_c^3) (\eta_c / \eta_a)^2 \ll 1. \quad (30)$$

Считается [12-14], что $n_3 r_c^3 \ll 1$. Это связано с тем, что при $n_3 r_c^3 = 1$ среднее расстояние между дефектами $r_0 \sim r_c$ и они могут испытывать сильное взаимное влияние, так что, если дефекты не слишком «жесткие», в системе дефектов могут иметь место коллективные эффекты, т. е. рассматриваемая модель может оказаться неадекватной. Поэтому для максимальной концентрации остается простое требование, достаточно хорошо выполняемое: $(\eta_c/\eta_a)^2 \ll 1$. Для 3D условие оказывается даже еще менее ограничительным. Из (4) среднеквадратичная флуктуация статической неоднородности получается $\sim (d/r_c) \bar{\eta}_0^2$, откуда критерий малости содержит в левой части лишний по сравнению с предыдущим малый параметр $(d/r_c) < 1$

$$(n_3 r_c^3) (d/r_c) (\eta_c/\eta_a)^2 \ll 1. \quad (31)$$

Однако для дефектов низших размерностей ограничение оказывается довольно жестким. Так, для 2DS из (6) имеем для КФ в координатном представлении

$$\Theta_S(\rho) = \bar{\eta}_0^2 (\rho/r_c) \mathcal{H}_1(\rho/r_c). \quad (32)$$

Здесь уже статическая среднеквадратичная флуктуация неоднородности имеет вид

$$\bar{\eta}_0^2 = \pi n_2 \eta_c^2 r_c^2 / \ln^2(r_c/d), \quad (33)$$

откуда критерий малости записывается как

$$(n_2 r_c^2) (\eta_c/\eta_a)^2 [(r_c/d) / \ln(r_c/d)]^2 \ll 1. \quad (34)$$

Наличие большого параметра $[(r_c/d) / \ln(r_c/d)]^2$ налагает сильные ограничения на n_2 и η_c , так что (34) может выполняться лишь для достаточно «слабых» дефектов. Расчет для 1D дефектов дает

$$(n_1 r_c) (r_c/d)^2 (\eta_c/\eta_a)^2 \ll 1. \quad (35)$$

Эти довольно жесткие условия являются, очевидно, отражением того факта, что для низших размерностей возрастает роль взаимодействия флуктуаций и нелинейных эффектов вследствие уменьшения фазового объема. В этой связи интересно посмотреть, в какой степени точный учет нелинейности при вычислении $\eta_0(z)$ может изменить температурную аномалию вклада. В 1D уравнение $\alpha \eta_0 - \delta \eta_0'' + \beta \eta_0^3 = 0$ имеет точное решение

$$\eta_0(z) = b \eta_c e^{-a|z|} (1 - c e^{-2a|z|})^{-1}, \quad (36)$$

где

$$a = \sqrt{\alpha/\delta} = r_c^{-1},$$

$$b = 2\sqrt{\alpha} \left(\sqrt{\alpha + \frac{\beta}{2} \eta_c^2} + \sqrt{\alpha} \right)^{-1},$$

$$c = \frac{\beta}{2} \eta_c^2 \left(\sqrt{\alpha + \frac{\beta}{2} \eta_c^2} + \sqrt{\alpha} \right)^{-2}.$$

Это частный случай решения нелинейного уравнения, взятого на сепаратрисе, для S-дефекта. Находя $\Theta(k_z)$ и подставляя в (1), поправку, например, к скорости звука $\Sigma(0, 0)$ можно выразить через интеграл

$$\Sigma(0, 0) = \frac{1}{2} (b \eta_c)^2 \delta^{1/2} \alpha^{-3/2} \int_0^\infty \frac{dx}{e^x - ce^{-x}} \int_0^\infty \frac{dy}{e^y - ce^{-y}} [e^{-(x+y)} + e^{-|x-y|}]. \quad (37)$$

При $\beta=0, c=0$ и $b=1$ имеем старый результат (24), а при $\beta \neq 0$ и $\alpha \rightarrow 0, c \rightarrow 1, b^2 \sim \alpha$ интеграл в (37) имеет порядок $\ln^2(1-c) \sim \ln^2 \alpha$ и, таким образом,

вместо особенности $\alpha^{-3/2}$, имеем более слабую $\alpha^{-1/2} \ln^2 \alpha$. Естественно, что этот результат нельзя считать точным, поскольку нелинейность была учтена только лишь в Θ , а G осталась в линейном приближении. Результат лишь указывает на тенденцию к уменьшению особенности при точном учете β ; тогда как члены разложения в ряды по β имеют обычно более сильную особенность.

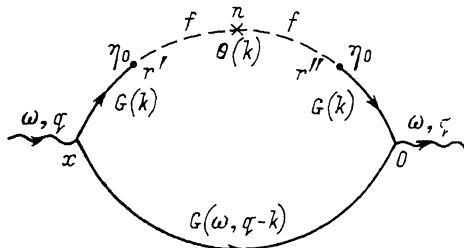
В заключение отметим, что полученные результаты, определяемые петлевой диаграммой для различных типов дефектов, применимы и к другим физическим величинам. В частности, аномальная часть теплоемкости записывается в виде [19]

$$C = T^2 (\partial\alpha/\partial T)^2 \sum \int \frac{dk}{(2\pi)^3} G^2(\mathbf{k}, \omega_n),$$

поэтому имеет ту же особенность, что и $\Delta v \sim \Sigma(0, 0)$.

Интенсивность рассеянного света дается Фурье-компонентой парной КФ флюктуаций диэлектрической проницаемости ϵ' [22]. В симметричной фазе

$\epsilon' \sim \eta^2$, так что флюктуационный вклад $\sim \langle \eta^2(x) \eta^2 \rangle$ и выражается через двухчастичную гриновскую функцию, изображаемую также петлевой диаграммой (см. рисунок).



Структура простейшей примесной диаграммы.

Список литературы

- [1] Eibl O., Hoenig H. E., Triscone J. M. et al. // Physica C. 1990. V. 172. N 3/4. P. 373.
- [2] Pande C. S., Singh A. K., Toth L. et al. // Phys. Rev. B. 1987. V. 36. N 10. P. 5669–5671.
- [3] Кошелев А. Е. // ЖЭТФ. 1987. Т. 95. № 2. С. 662–667.
- [4] Леманов В. В., Шерман А. Б., Андрианов Г. О., Эргашев И. // ФТТ. 1990. Т. 32. № 7. С. 2161–2164.
- [5] Иязумов Ю. А., Плакида Н. М., Скрябин Ю. Н. // УФН. 1989. Т. 159. № 4. С. 621.
- [6] Böni P., Axe J. D., Shirane G. et al. // Phys. Rev. B. 1988. V. 38. N 1. P. 185–194.
- [7] Suzuki T., Fujita T. // Physica C. 1989. V. 159. N 1. P. 111–116.
- [8] Boolchand P., Enzweiler R. N., Zitkovsky I. et al. // Phys. Rev. B. 1988. V. 37. N 7.
- [9] Bourne L. C., Zettl A., Chang K. J. et al. // Phys. Rev. B. 1987. V. 35. N 16. P. 8785–8787.
- [10] Щедрина Н. В., Щедрин М. И. // Изв. вузов, физика. 1989. Т. 32. № 1. С. 70–74.
- [11] Щедрин М. И., Щедрина Н. В. // ФТТ. 1989. Т. 31. № 8. С. 139–145.
- [12] Лебедев Н. И., Леваниук А. П., Сигов А. С. // ЖЭТФ. 1983. Т. 85. № 4. С. 1429–1436.
- [13] Levanyuk A. P., Sigov A. A. Defects and Structural Phase Transitions. N. Y.: Gordon and Breach, 1987. 208 p.
- [14] Брус А., Каули Р. Структурные фазовые переходы. М., 1984. 408 с.
- [15] Щедрин М. И. // Изв. вузов, физика. 1989. Т. 32. № 3. С. 29–33.
- [16] Щедрин М. И. // Изв. вузов, физика. 1989. Т. 32. № 5. С. 39–44.
- [17] Щедрина Н. В., Щедрин М. И. // ФТТ. 1990. Т. 32. № 5. С. 1479–1487.
- [18] Абрикосов А. А., Горьков Л. П., Дзялошинский И. Е. Методы квантовой теории поля в статистической физике. М., 1962. 443 с.
- [19] Паташинский А. З., Покровский В. Л. Флюктуационная теория фазовых переходов. М., 1982. 382 с.
- [20] Кишинец Ю. М., Леваниук А. П., Морозов А. И., Сигов А. С. // ФТТ. 1987. Т. 29. № 2. С. 601–603, 604–605.
- [21] Щедрина Н. В. // Изв. вузов, физика. 1978. № 10. С. 60–65.
- [22] Ginzburg V. L., Levanjuk A. P., Sobyanin A. A. // Phys. Reports. 1980. V. 57. N 3.